

Letzte Aktualisierung der Informationen: November 2024

Produktkonfiguration: QX92.12+QX47.01

QX92.12: LED-Modul - L 1192 - 78° - Down-Lichtausgabe - High Output - Warm White - integrierte dimmbare DALI-Versorgungseinheit - aluminium
QX47.01: iN60 MMO - Down-Modul - Frame - L= 1192 - weiss



Produktcode

QX92.12: LED-Modul - L 1192 - 78° - Down-Lichtausgabe - High Output - Warm White - integrierte dimmbare DALI-Versorgungseinheit - aluminium

Beschreibung

LED-Modul, das zur Installation in den Profilen des iN60 MMO mit Down-Lichtausgabe vorgesehen ist. Raster aus metallisiertem Thermoplast. Die Leuchte erzeugt eine Down-Lichtausstrahlung (85%) mit kontrollierter Leuchtdichte $L \leq 3000 \text{ cd/mq} - \alpha > 65^\circ$, gemäß Norm EN 12464-1 für den Einsatz in Flächen mit starker Bildschirmnutzung. Die Ausführung ist High Output. Komplett mit eingebauter elektronischer, dimmbarer DALI-Versorgungseinheit. LED Warm White (3000K), CRI90.

Installation

Leichtes Einsetzen der Module in die Einbauschächte durch das mechanische Easy-Push-System (Schnappfedern aus Stahl).

Farben

Aluminium (12)

Gewicht (Kg)

0.93

Verkabelung

Anschluss mit Schnellklemmenanschluss am Eingang. Das LED-Modul ist mit integrierter DALI-Versorgungseinheit ausgestattet. Die verwendeten Stromkabel sind aus halogenfreiem Material.

Gemäß der Normen EN60598-1 u. Sondernormen



Produktcode

QX47.01: iN60 MMO - Down-Modul - Frame - L= 1192 - weiss

Beschreibung

Das Profil L=1192 mm ist aus extrudiertem Aluminium gefertigt. Dies ist die Frame-Ausführung für Down-Lichtausstrahlung. Das Produkt eignet sich für Einbau-Anwendungen und kann sowohl als Standalone-Version als auch in Reihenschaltung eingesetzt werden.

Installation

Installation als Einbauleuchte mit eigenem, separat zu bestellendem Zubehör. Die Module sind mit Enddeckeln und Rastern mit LEDs zu vervollständigen, die separat bestellt werden müssen.

Farben

Weiß (01)

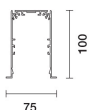
Gewicht (Kg)

2.17

Montage

Deckeneinbauleuchte

Gemäß der Normen EN60598-1 u. Sondernormen



Technische Daten

Im System: 3196

W System: 24

Im Lichtquelle: 4150

W Lichtquelle: 24

Lichtausbeute (lm/W, Systemwert): 133.1

Im im Notlichtbetrieb: -

abgegebener Lichtstrom bei/ 0

über einem Winkel von 90°

[lm]:

Leuchtenbetriebswirkungsgrad 77

(L.O.R.) [%]:

CRI (minimum): 90

Farbtemperatur [K]: 3000

MacAdam Step: 3

Lampencode: LED

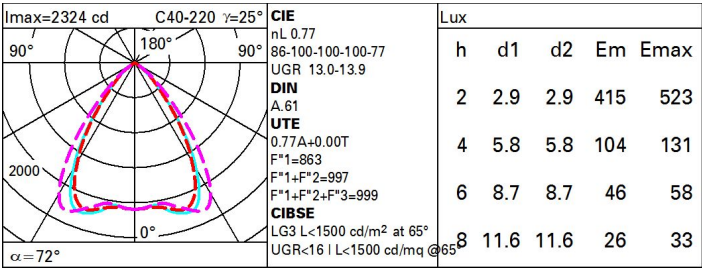
Anzahl Lampen in Leuchtengehäuse: 1

ZVEI-Code: LED

Anzahl Leuchtengehäuse: 1

Control: DALI-2

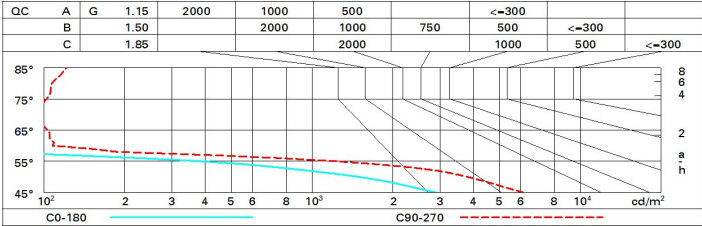
Polardiagramm



Wirkungsgrad

| R | 77 | 75 | 73 | 71 | 55 | 53 | 33 | 00 | DRR |
|------|----|----|----|----|----|----|----|----|-----|
| K0.8 | 65 | 60 | 56 | 54 | 59 | 56 | 56 | 53 | 68 |
| 1.0 | 69 | 64 | 61 | 59 | 63 | 61 | 60 | 57 | 74 |
| 1.5 | 74 | 70 | 68 | 66 | 69 | 67 | 67 | 64 | 83 |
| 2.0 | 77 | 74 | 72 | 71 | 73 | 71 | 71 | 68 | 88 |
| 2.5 | 78 | 76 | 75 | 74 | 75 | 74 | 73 | 71 | 92 |
| 3.0 | 79 | 78 | 77 | 76 | 77 | 76 | 75 | 72 | 94 |
| 4.0 | 81 | 79 | 78 | 78 | 78 | 77 | 76 | 74 | 96 |
| 5.0 | 81 | 80 | 79 | 79 | 79 | 78 | 77 | 75 | 97 |

Söllner-Diagramm



UGR-Diagramm

| Corrected UGR values (at 4150 lm bare lamp luminous flux) | | | | | | | | | | | | |
|--|-----|---------------------|-------------|------|------|------|-------------------|------|------|------|------|--|
| Reflect.: ceiling/cav walls work pl. Room dim x y | | 0.70 | 0.70 | 0.50 | 0.50 | 0.30 | 0.70 | 0.70 | 0.50 | 0.50 | 0.30 | |
| | | 0.50 | 0.30 | 0.50 | 0.30 | 0.30 | 0.50 | 0.30 | 0.50 | 0.30 | 0.30 | |
| | | 0.20 | 0.20 | 0.20 | 0.20 | 0.20 | 0.20 | 0.20 | 0.20 | 0.20 | 0.20 | |
| | | viewed crosswise | | | | | viewed endwise | | | | | |
| 2H | 2H | 13.5 | 14.2 | 13.8 | 14.4 | 14.6 | 14.4 | 15.1 | 14.7 | 15.3 | 15.5 | |
| | 3H | 13.4 | 14.0 | 13.7 | 14.2 | 14.5 | 14.3 | 14.9 | 14.6 | 15.1 | 15.4 | |
| | 4H | 13.3 | 13.9 | 13.7 | 14.1 | 14.4 | 14.2 | 14.8 | 14.6 | 15.1 | 15.4 | |
| | 6H | 13.2 | 13.7 | 13.6 | 14.0 | 14.4 | 14.1 | 14.6 | 14.5 | 15.0 | 15.3 | |
| | 8H | 13.2 | 13.7 | 13.6 | 14.0 | 14.3 | 14.1 | 14.6 | 14.5 | 14.9 | 15.3 | |
| | 12H | 13.2 | 13.6 | 13.5 | 14.0 | 14.3 | 14.1 | 14.5 | 14.4 | 14.9 | 15.2 | |
| 4H | 2H | 13.3 | 13.9 | 13.7 | 14.2 | 14.5 | 14.2 | 14.7 | 14.5 | 15.0 | 15.3 | |
| | 3H | 13.2 | 13.6 | 13.6 | 14.0 | 14.3 | 14.1 | 14.5 | 14.5 | 14.9 | 15.2 | |
| | 4H | 13.1 | 13.5 | 13.5 | 13.9 | 14.3 | 14.0 | 14.4 | 14.4 | 14.8 | 15.1 | |
| | 6H | 13.0 | 13.4 | 13.4 | 13.8 | 14.2 | 13.9 | 14.2 | 14.3 | 14.6 | 15.1 | |
| | 8H | 13.0 | 13.3 | 13.4 | 13.7 | 14.1 | 13.9 | 14.2 | 14.3 | 14.6 | 15.0 | |
| | 12H | 12.9 | 13.2 | 13.4 | 13.6 | 14.1 | 13.8 | 14.1 | 14.3 | 14.5 | 15.0 | |
| 8H | 4H | 13.0 | 13.3 | 13.4 | 13.7 | 14.1 | 13.9 | 14.2 | 14.3 | 14.6 | 15.0 | |
| | 6H | 12.9 | 13.1 | 13.3 | 13.6 | 14.1 | 13.8 | 14.0 | 14.2 | 14.5 | 14.9 | |
| | 8H | 12.8 | 13.1 | 13.3 | 13.5 | 14.0 | 13.7 | 13.9 | 14.2 | 14.4 | 14.9 | |
| | 12H | 12.8 | 13.0 | 13.3 | 13.5 | 14.0 | 13.7 | 13.9 | 14.2 | 14.3 | 14.9 | |
| 12H | 4H | 12.9 | 13.2 | 13.4 | 13.6 | 14.1 | 13.8 | 14.1 | 14.3 | 14.5 | 15.0 | |
| | 6H | 12.8 | 13.1 | 13.3 | 13.5 | 14.0 | 13.7 | 13.9 | 14.2 | 14.4 | 14.9 | |
| | 8H | 12.8 | 13.0 | 13.3 | 13.5 | 14.0 | 13.7 | 13.9 | 14.2 | 14.3 | 14.9 | |
| Variations with the observer position at spacing: | | | | | | | | | | | | |
| S = | | 1.0H | 3.8 / -11.4 | | | | 3.2 / -9.1 | | | | | |
| | | 1.5H | 5.5 / -25.8 | | | | 5.3 / -20.9 | | | | | |
| | | 2.0H | 7.4 / -26.4 | | | | 7.2 / -21.3 | | | | | |